

Лабораторна робота № 1

ВИЗНАЧЕННЯ СПІВВІДНОШЕННЯ МІЖ МАКСИМАЛЬНИМ КУТОМ ЗАХВАТУ І МАКСИМАЛЬНИМ КУТОМ ТОРКАННЯ

1.1 Мета роботи

Вивчення умов захвату і визначення співвідношення між максимальним кутом торкання в сталому процесі і максимальним кутом захвату в початковому періоді процесу прокатки.

1.2 Теоретичний вступ

Природний захват штаби валками здійснюється за умови коли:

$$\alpha_3 \leq \beta_3 \quad (1.1)$$

де α_3 – кут захвату в початковий момент захвату; β_3 – кут тертя у момент захвату.

Схема дії сил при захваті штаби валками представлена на рис.1.1.

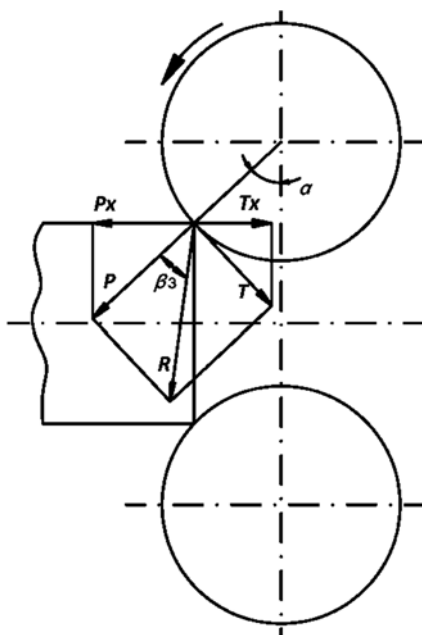


Рисунок 1.1 – Схема дії сил на штабу при захваті штаби валками

При торканні штаби з валками з боку валків діє нормальна сила P і сила тертя T , що виникла під дією сили P . Горизонтальні складові цих сил P_x і T_x направлені у протилежні сторони, при цьому сила T_x втягує штабу в зазор між валками, а сила P_x заважає цьому. Захват металу валками починається при рівності сил P_x і T_x , що можливо при рівності кутів α_3 і β_3 .

У сталому процесі прокатки (рис. 1.2) контакт між прокатуваним металом і валками відбувається не по лінії, як це було у момент захвату, а по поверхні, довжина якої дорівнює довжині дуги захвату. Точці прикладення рівнодіючої

зусилля прокатки відповідає кут φ . В цьому випадку рух металу між валками характеризується умовою:

$$\varphi \leq \beta_y \text{ або } \alpha_y \leq K_\varphi \cdot \beta_y \quad (1.2)$$

де φ – кут, що відповідає положенню точки прикладення рівнодіючої зусилля прокатки; α_y – кут торкання в сталому процесі; K_φ – коефіцієнт положення рівнодіючої.

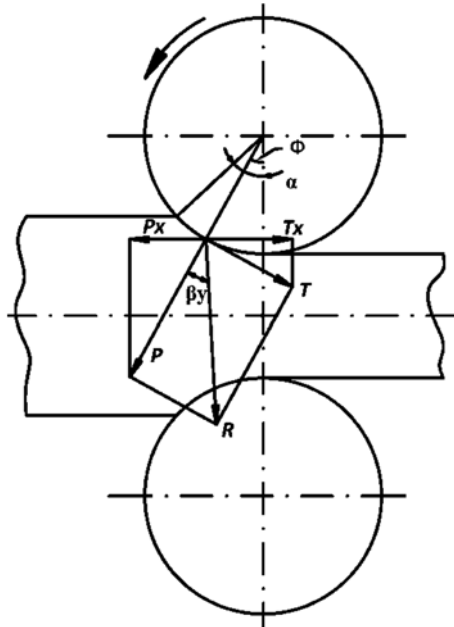


Рисунок 1.2 – Схеми дії сил на штабу в сталому процесі прокатки

За дослідними даними коефіцієнт положення рівнодіючої K_φ дорівнює 1,3–3,0, при цьому більше його значення відноситься до процесу холодної прокатки.

Таким чином, сталий процес прокатки здійснюється в надійніших умовах, ніж захват металу, тобто при надлишку сил тертя, що сприяє розвитку випередження при прокатуванні. Проте це твердження справедливе у разі, коли $\beta_3 = \beta_y$. Насправді кут тертя у момент захвату β_3 як правило більше кута тертя в сталому процесі β_y , звідси показник співвідношення кутів тертя дорівнює:

$$K_\beta = (\beta_3 / \beta_y) > 1 \quad (1.3)$$

При холодному прокатуванні $K_\beta = 1,6 - 2,8$.

На величину K_β впливає температура, наявність на поверхні металу мастила або оксидів, відносна швидкість переміщення поверхні валків і металу, що прокатується. Наявність мастила в основному знижує β_y і майже не змінює β_3 .

Отже, маємо умову, що характеризує захват $\alpha_3 \leq \beta_3$ і умову, відповідну сталому процесу $\alpha_y \leq K_\varphi \cdot \beta_y$. Звідси для максимальних кутів $\alpha_{м3} = \beta_3$; $\alpha_{мy} = K_\varphi \cdot \beta_y$.

Відношення максимального кута торкання в сталому процесі α_{my} до максимального кута захвату $\alpha_{mз}$ позначимо, як:

$$K_{\alpha} = \alpha_{my} / \alpha_{mз} \quad (1.4)$$

Коефіцієнт K_{α} , як буде показано нижче, характеризує стійкість процесу прокатки і ступінь розвитку випередження. Чим більше K_{α} , тим стійкіше процес прокатки і більше випередження. Величина K_{α} залежить від співвідношення кутів тертя β_3 і β_y .

Якщо прийняти $\beta_3 = \beta_y$, то $K_{\alpha} = (\alpha_{my} / \alpha_{mз}) = K_{\varphi}$. Приймаючи середнє значення $K_{\varphi} = 2$ отримаємо $\alpha_{my} = 2\alpha_{mз}$.

Проте, частіше зустрічається випадок, коли $\beta_3 > \beta_y$, тоді

$$K_{\alpha} = \frac{\alpha_{my}}{\alpha_{mз}} = \frac{K_{\varphi} \cdot \beta_y}{\beta_3} = \frac{K_{\varphi}}{K_{\beta}} \quad (1.5)$$

Оскільки $K_{\varphi} > K_{\beta}$, то в даному випадку $K_{\alpha} > 1$.

Стійкість процесу прокатки можна оцінювати за коефіцієнтом $K_{\varphi y}$, що дорівнює відношенню максимального кута торкання в сталому процесі α_{my} до дійсного кута торкання α_{dy} :

$$K_{\varphi y} = \frac{\alpha_{my}}{\alpha_{dy}} = K_{\varphi} \cdot \beta_y / \alpha_{dy} \quad (1.6)$$

Приймаючи коефіцієнт стійкості захвату $K_{yз} = (\alpha_{mз} / \alpha_{dз}) = \beta_3 / \alpha_{dз}$, де $\alpha_{dз}$ – дійсний кут захвату, і враховуючи, що практично процес прокатки завжди протікає за умови $\alpha_{dy} = \alpha_{dз}$, остаточно отримуємо:

$$K_{\varphi y} = \frac{K_{\varphi}}{K_{\beta}} \cdot K_{\varphi з} = K_{\alpha} \cdot K_{\varphi з} \quad (1.7)$$

1.3 Устаткування, інструмент, матеріали

У роботі використовували прокатний стан 200, лінійку, штангенциркуль, клиновидні зразки зі свинцю (рис. 1.3):

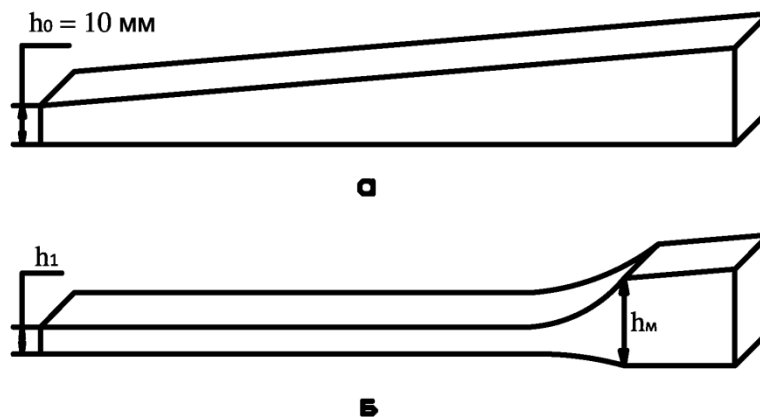


Рисунок 1.3 – Зразка до (а) і після прокатки (б)

1.4 Методика проведення роботи

Прокатку проводили за різних умов тертя: у сухих валках, з мастилом і у валках, покритих крейдою. У останньому випадку зразок також покривали крейдою.

Перед прокаткою валки слід встановити з таким зазором, щоб природний захват не здійснювався, потім покласти на стіл зразок і за допомогою дерев'яного бруска злегка притиснути зразок передньою гранню (тонким кінцем) до валків, після чого поволі підводити валок до тих пір, поки відчується тремтіння зразка. При подальшому незначному підйомі валки захоплюють зразок і прокатують до певного моменту, коли починається ковзання валків по металу. Після цього валки зупиняють, піднімають верхній валок і витягують зразок.

Для ділянки зразка з постійною висотою по довжині, визначають максимальний кут захвату $\alpha_{мз}$:

$$\cos\alpha_{мз} = 1 - \frac{h_0 - h_1}{d} \quad (1.8)$$

де d – діаметр валка; h_0, h_1 – товщина штаби до і після прокатки.

Знаючи значення $\cos\alpha_{мз}$, по значенню тригонометричної функції (табл. 1.1) знаходимо $\alpha_{мз}$. В цьому випадку $\alpha_{мз} = \beta_3$. Максимальний кут торкання сталого процесу прокатки $\alpha_{му}$ визначається за формулою:

$$\cos\alpha_{му} = 1 - \frac{h_m - h_1}{d} \quad (1.9)$$

де h_m – товщина штаби перед зоною деформації на конусній ділянці довжини зразка.

Таблиця 1.1 – Значення тригонометричної функції

Кут α , град.	$\cos\alpha$	Кут α , град.	$\cos\alpha$	Кут α , град.	$\cos\alpha$	Кут α , град.	$\cos\alpha$
0	1,0000	11	0,9816	22	0,9272	33	0,8387
1	0,9998	12	0,9781	23	0,9205	34	0,8290
2	0,9994	13	0,9744	24	0,9135	35	0,8192
3	0,9986	14	0,9703	25	0,9063	36	0,8090
4	0,9976	15	0,9659	26	0,8988	37	0,7986
5	0,9962	16	0,9613	27	0,8910	38	0,7880
6	0,9945	17	0,9563	28	0,8829	39	0,7771
7	0,9925	18	0,9511	29	0,8746	40	0,7660
8	0,9903	19	0,9455	30	0,8660	41	0,7547
9	0,9877	20	0,9397	31	0,8572	42	0,7431
10	0,9848	21	0,9336	32	0,8480	43	0,7314

Усі експериментальні і розрахункові дані заносяться до табл. 1.2 і будується графік (рис. 1.4) залежності коефіцієнта K_α від умов прокатки (номеру зразка). Наводяться висновки. Приклад заповнення табл. 1.2 і графіка на рис. 1.4 наведено нижче.

Таблиця 1.2 – Дослідні і розрахункові дані визначення $\alpha_{мз}$ і $\alpha_{му}$

№ зразка	Умови дослідю	h_0 , мм	h_1 , мм	h_m , мм	$h_0 - h_1$, мм	$h_m - h_1$, мм	d валків мм	$\cos \alpha_{мз}$	$\alpha_{мз}$, радіан	$\cos \alpha_{му}$	$\alpha_{му}$, радіан	K_α
1	Валки, покриті крейдою	10	8	19,4	2	11,4	200	0,9900	0,1415	0,943	0,3393	2,40
2	Чисті валки	10	8,5	16,6	1,5	8,1	200	0,9925	0,1226	0,9595	0,2856	2,33
3	Валки, покриті мастилом	10	9	14,1	1	5,1	200	0,9950	0,1	0,9745	0,2263	2,26



Рисунок 1.4 – Залежність коефіцієнта K_α від умов прокатки

Необхідно оформити звіт і зробити висновки.

Контрольні питання

1. Поясніть схему дії сил на штабу при захваті штаби валками.
2. Поясніть схему дії сил на штабу в сталому процесі прокатки.
3. Що таке кут захвату?
4. Що таке кут торкання?
5. Який процес прокатки здійснюється в надійніших умовах і чому: в момент захвату металу валками чи в сталому процесі прокатки?
6. Що показує співвідношення між максимальним кутом торкання в сталому процесі прокатки і максимальним кутом захвату в початковому періоді процесу прокатки.
7. За яким коефіцієнтом можна оцінювати стійкість процесу прокатки?

Література до лабораторної роботи 1: [1, 2, 5, 6]